

日本大学理工学部 正〇竹沢三雄  
企上 正久宝雅史

### 1. まえがき

斜面に達する進行波が、碎波点で最大の波高  $H_b$  になる位置の水深  $h_b$  に関して、波向に直角な鉛直壁面を設ければ、その波高  $H_b$  および水深  $h_b$  が、直立壁のない場合と同じであるが、あるいはそれが変化するかどうかについて、若干の実験をしたので、ここにそれについて報告する。

1937年, Larras<sup>1)</sup> は鉛直壁面の有無にかかわらず碎波波高は同じであるとし、1961年, Leendertse<sup>2)</sup> は同様に碎波限界水深は変わらないとしている。しかし、このように進行波の特性だけで碎波波高および碎波限界水深が定まるのではなくて、鉛直壁面の反射およびそれによる底り流れなどが碎波波高および碎波点に影響するところのが妥当である。たとえば、合田<sup>3)</sup> は防波堤の波压計算にあたり、碎波点を防波堤のない場合よりも沖側に考えるのがよいとしている。

いま、ある周期  $T$  の波が、水底勾配の一定の斜面および鉛直壁面に達して碎波が生ずるとすると、その碎波波高  $H_b$ 、碎波水深  $h_b$  は、入射波高  $H_0'$  と壁面からの反射波高  $H_r$ 、壁面の前脚水深の合成によって生ずると考えられる。ここでは、斜面勾配  $1/30$  の水槽実験で、ある程度限られた範囲ではあるが、その結果を図示することとした。

### 2. 実験方法

実験に使用した造波水槽は、長さ  $45.45\text{m}$ 、幅  $0.46\text{m}$ 、高さ  $0.91\text{m}$  の両面ガラス張りの2次元水槽で、造波機はピストン型である。

実験断面は、図-1

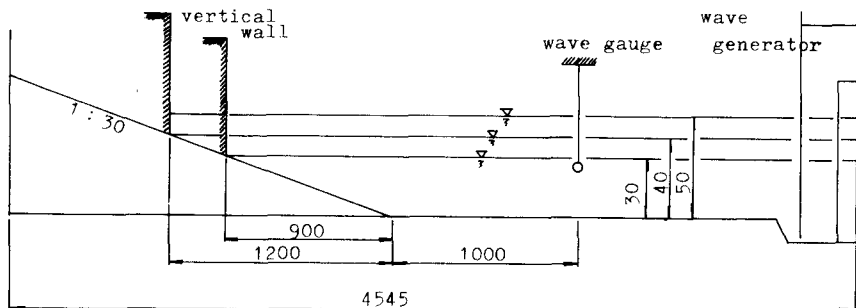


図-1 実験断面(単位cm)

に示すように、斜面勾配  $1/30$  上に鉛直壁を有する構造物を斜面法先から水平距離  $900\text{cm}$ ,  $1200\text{cm}$  に設置した場合<sup>2)</sup>、一様水深部の水深を  $30\text{cm}$ ,  $40\text{cm}$ ,  $50\text{cm}$  とした。なお、一様水深部における波高および周期の測定は、折板線式波高計で行い、碎波波高および碎波水深の測定は、 $16\text{mm}$  シネカメラにて撮影し、フィルムモーションアナライザにて映像解析した。

実験に使用した波の諸元は、一様水深部における波高  $H = 10.03\text{cm} \sim 25.86\text{cm}$ , 周期  $T = 0.99\text{sec} \sim 3.54\text{sec}$  であり、これを微小振幅波理論により冲波に換算すると  $H_0' = 9.86\text{cm} \sim 23.02\text{cm}$ , 波長  $L_0 = 153\text{cm} \sim 1955\text{cm}$  になる。

### 3. 実験結果と考察

実験結果より、 $H_b/H_0'$ ,  $h_b/H_0'$  と  $H_0'/L_0$  の関係は、図-2 および図-3 のとおりであり、図中の曲線は、直立壁面のない場合の合田による碎波指標<sup>3)</sup>である。また、図中の  $h$  は、壁面の前脚水深であり、 $h$  は、水槽水平部の水深である。

これらの図から、明らかに、同じ冲波波形勾配  $H_0'/L_0$  に対して、 $d = 20\text{cm}$ ,  $h = 50\text{cm}$  の場合の碎波波高に關する  $H_b/H_0'$  および  $h_b/H_0'$  の値が、かなり大きめ、すなはち、直立壁面の前脚水深が大きい場合には、

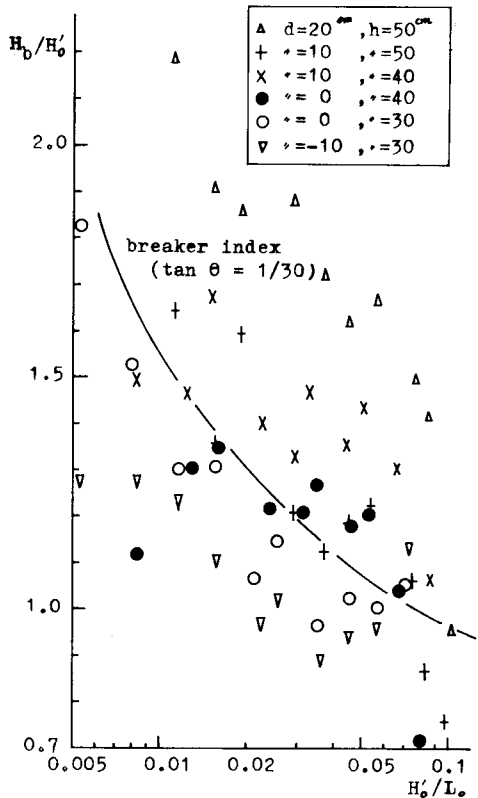


図-2  $H_b/H_0'$  と  $H_0'/L_0$  の関係

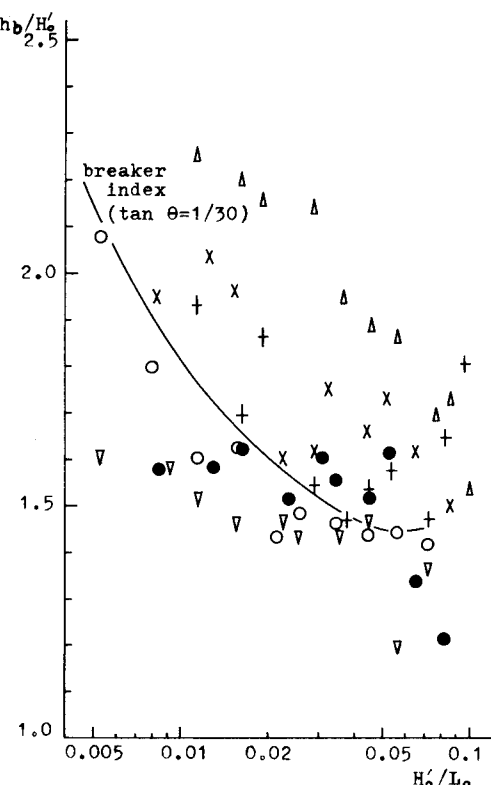


図-3  $h_b/H_0'$  と  $H_0'/L_0$  の関係

反射の影響をうけて碎波波高  $H_b$  が大きくなり、それと生ずる位置が沖の方へ移動して碎波水深  $h_b$  も大きくなる。これに対して汀線より陸側の斜面上に鉛直壁のある場合、すなはち  $d = -10 \text{ cm}$ ,  $h = 30 \text{ cm}$  の場合には、 $H_b/H_0'$  および  $h_b/H_0'$  の値が、鉛直壁のない場合の同じ  $H_0'/L_0$  に対して小さくなり、碎波波高  $H_b$  および碎波水深  $h_b$  が小さくなる。したがって、碎波莫がやゝ陸側に近寄ることになる。<sup>5)</sup> また、前脚水深が  $d = 0 \text{ cm}$  および  $d = 10 \text{ cm}$  の場合には、その中の間の碎波波高  $H_b$  および碎波水深  $h_b$  を示し、鉛直壁面の影響があまり判然としなくなる。

#### 4. 結び

前述のように、碎波波高  $H_b$  および碎波限界水深  $h_b$  は、入射波特性と鉛直壁面設置位置による反射波特性との合成によることが、明らかになつたが、これら実験値を数式で表現することは、やゝ不完全と考えているので、目下、検討中である。

最後に、この実験および資料の提供をして下さった Coastal Eng. Res. Center の諸氏に対し、深甚なる感謝の意を表す所である。

(参考文献)

- 1) Larras, J., "Le déferlement des lames sur les jetées verticales," Annales des Ponts et Chaussées (1937)
- 2) Leendertse, J.J., "Forces induced by breaking water waves on a vertical wall," TM-092, U.S. Navy (1961)
- 3) 合田良実, "防波堤の設計波压に関する研究," 港研報告 Vol.12, No.3 (1973)
- 4) 合田良実, "碎波指標の整理について," 土木学会論文集新規集, No.180 (1970)
- 5) Ippen, A.T., Kulim, G., "Shoaling and breaking characteristics of the solitary wave," M.I.T. Hydrodynamics Laboratory Technical Report No.15 (1955)